

Mémoire de Stage de M2

PHASE GÉOMÉTRIQUE DE SIGNAL MULTIVARIÉ ET PUIS C'EST DÉJÀ PAS MAL

Grégoire DOAT

Encadré par Nicolas LE BIHAN, Pierre-Olivier AMBLARD, Julien FLAMANT & Michel
BERTHIER

Master MIX – Université de La Rochelle

2024 – 2025

INTRODUCTION

La phase géométrique fait partie de ces concepts qui apparaissent régulièrement en physique, mais qui demande beaucoup de contexte pour être expliqué. Pour l'introduire rapidement, la phase géométrique à l'instant t d'un signal complexe ψ est donné par :

$$\Phi_{\text{geo}}(\psi, t_0, t) = \arg \langle \psi(t), \psi(t_0) \rangle \Im m \int_{t_0}^t \frac{\langle \dot{\psi}(s), \psi(s) \rangle}{\|\psi(s)\|^2} ds$$

Ce qui rend cette phase si intéressante c'est qu'elle est invariante par transformation de jauge, c'est-à-dire invariante par toute transformation du type :

$$\psi(t) \rightsquigarrow \psi'(t) = e^{i\alpha(t)}\psi(t)$$

Cette propriété rend la phase Φ_{geo} intrinsèquement liée à la trajectoire que prend la projection de ψ dans l'espace projectif complexe $\mathbb{P}\mathbb{C}^{n-1}$ et par conséquent, à la géométrie de ce dernier, d'où son nom.

Ceci à largement été étudié dans le cadre de système dynamique régis par EDP [4, 11], notamment en mécanique quantique avec l'équation Schrödinger [1, 12, 13]. Ce n'est que récemment que Le Bihan, Flament et Amblard se sont intéressés à son application en traitement du signal dans le cas de signaux bivariés [6, 7].

[...]

NOTATIONS ET CONVENTIONS

OBJET/FONCTION	NOTATION
Conjugué complexe	\bar{x}
Transposée (resp. adjoint) de la matrice A	${}^t A$ (resp. A^\dagger)
Distribution de Dirac	δ
Indicatrice de E	$\mathbb{1}_E$
Fonction signe	$\text{sign}(x)$
Transformée de Fourier	$\mathcal{F}[x], \hat{x}$
Transformée en SA	$\mathcal{A}[x]$
Transformée de Hilbert	$\mathcal{H}[x]$
Produit hermitien	$\langle \cdot, \cdot \rangle$
Espérance et variance de f suivant ρ	$\mathbb{E}_\rho[f(t)], \mathbb{V}_\rho[f(t)]$
Espace des fonctions p.p. de puissance p^{eme} intégrable à valeur de E dans F	$L^p(E, F)$
Support d'une fonction f	$\text{supp } f = \{x \in \mathbb{R} \mid f(x) \neq 0\}$
Matrice de rotation de paramètre Θ (resp. d'angle θ en dimension 2)	R_Θ (resp. R_θ)
Ensemble des matrices symétriques (resp. anti-symétriques) de taille n	$\mathcal{S}_n(\mathbb{R})$ (resp. $\mathcal{A}_n(\mathbb{R})$)
Ensemble des matrices hermitiennes (resp. anti-hermitiennes) de taille n	$\mathcal{S}_n(\mathbb{C})$ (resp. $\mathcal{A}_n(\mathbb{C})$)

Note générale

- les références sont en fin de mémoire est en .bib sur le [GitHub](#)
- Idem pour les codes et un mot sur **pygeomphase**
- En italique sont les notes un peu plus informelle
- Y'a des annexes pour chaque partie mais ce sera précisé si elles sont nécessaire pour suivre
- On va parler de géo diff et pour éviter de réécrire un livre, on va admettre beaucoup de résultats, on renvoie vers [5] (mets en d'autre) pour une introduction extensive à la théorie

Notations math :

- Convention sur le produit hermitien (congué à droite)
- les vecteurs seront le plus souvent en gras, leur dérivée en temps noté par un point (ex. : $\dot{\mathbf{x}}(t)$) et celle des scalaires seront noté par un prime (ex. : $a'(t)$)
- convention de sommation d'Einstein ? (oui mais est-ce qu'on en parle maintenant)

TABLES DES MATIÈRES

Introduction	1
Notations et conventions	2
<hr/>	
PARTIE I — ASPECTS GÉOMÉTRIQUES D'UNE PHASE ÉPONYME	4
<hr/>	
I — Prérequis mathématique	6
1.1 Variété fibrée principale	6
1.2 Espaces projectifs complexes	8
II — Interprétation des trois phases dans ce cadre	9
2.1 Cas pseudo-cyclique	9
Annexe	10
Annexe A — Variété différentielle complexe, tiré de [13]	10

PARTIE I

ASPECTS GÉOMÉTRIQUES D'UNE PHASE ÉPONYME

I — Prérequis

Dans notre cas, tout s'écrit très simplement donc pas besoin de sortir tout l'arsenal de géo diff

1.1 — Espace projectif complexe

1.2.1 — Construction de $\mathbb{P}\mathbb{C}^{n-1}$

- Définition comme espace quotient $S^{2n-1}/U(1)$
- lien avec la projection $x \mapsto xx^\dagger$
- $\mathbb{P}\mathbb{C}^n$ vue comme variété différentielle complexe (voir annexe pour détails)

1.2.2 — Métrique de Fubini-Study

- Métrique induite par la projection
- expression de la métrique
- expression en coordonnées locales

1.2 — Fibré principaux

1.1.1 — Fondamentaux

- Définitions de base
- Section locale (canonique)
- changement de carte

1.1.2 — Espaces horizontaux et connexion

- Espace verticaux
- connexion comme ensemble d'espace horizontaux
- 1-forme de connexion
- notre choix de connexion (induite par le produit hermitien)

II — Interprétation géométrique des trois phases

2.1 — Cas des signaux “pseudo-cyclique” (cyclique à phase près)

- Le dessin de Bohm :
- phase dyn = signal - horizontal lift
- phase geo = horizontal lift - cyclique lift (<- indé du signal !)
- phase tot = cumul des deux

2.2 — La phase géo dans l'espace projectif

- Géodésique de $\mathbb{P}\mathbb{C}^n$ et généralisation du cas pseudo-cyclique
- Remarque de Mukunda : phase géo est une 2-forme vs phase dyn est une 1-forme
- Bonnet-Gauss & Stokes : phase géo comme calcul d'air
- *Comme partie imaginaire de la métrique (+ lien avec Fisher)*

Annexes

A — Forme différentielles (*nécessaire ?*)

B — Algèbre et groupe de Lie

- def : groupe de Lie G
- def : Algèbre de Lie \mathfrak{g} associée à G
- \mathfrak{g} vu comme tangent $T_e G$
- Cas particulier : $G = \mathrm{U}(1)$

C — Variétés différentielles complexe

- Complexification de TM
- L'intérêt de faire ça : proprement définir $\partial/\partial\bar{z}$
- Exemple : écriture de forme de Kahler de Fubini-Study

Pour étudier la phase géométrique d'un signal ψ , il nous faut projeter ψ sur $\mathbb{P}\mathbb{C}^n$, et ceux, tout en gardant une trace de sa phase puisque c'est le lien entre les deux qui nous intéresse. Il nous faut donc envoyer ψ dans le produit :

$$U(1) \times \mathbb{P}\mathbb{C}^n \quad (\text{ou } \mathbb{C}^{n-1*}/\mathbb{C}^*)$$

Garder le lien entre cet espace et celui d'origine mène à se placer dans le cadre avec d'un *variété fibrée* (ou simplement fibré). Plus précisément, comme $U(1)$ est un groupe de lie, ce sera un *fibré principal* noté $S^{2n-1}(U(1), \mathbb{P}\mathbb{C}^n)$.

Comme son nom l'indique, $S^{2n-1}(U(1), \mathbb{P}\mathbb{C}^n)$ à une structure de variété différentielle et le lien entre les $U(1)$ et $\mathbb{P}\mathbb{C}^n$ va se faire par le biais d'une connexion. L'on verra alors que cette connexion est intrinsèquement lié à la phase dynamique du signal, et il sera discuté de la signification de ce résultat. La phase géométrique, quand à elle, sera liée avec la métrique hermitienne associée aux l'espaces projectifs complexes.

Tout cela va demander quelques prérequis que nous allons voir à présent.

I — Prérequis mathématique

1.1 Variété fibrée principale

Pour le dire simplement, les *variétés fibrées* sont des variétés qui ressemble localement à des espaces produits. Le ruban de Möbius en est un exemple typique : il ne peut pas s'écrire comme le produit d'un cercle avec un segment $S^1 \times [0, 1]$ à cause de la façon dont il est construit. Mais localement, le ruban est tout à fait comparable (difféomorphe) à un tel produit (cf. fig. 1.3).



fig. 1.1 — Fibration du ruban de Möbius.



fig. 1.2 — Représentation d'un fibré principal

Il existe toutes sorte de variétés fibrées dès lors qu'elles sont munies de structure remarquable. Celle qui vont nous intéresser sont les variétés dites principales¹ :

DÉFINITION 1 (VARIÉTÉ FIBRÉE PRINCIPALE) — Une *variété fibrée principale* (VFP), ou *fibré principal* est constituée de deux variétés différentielles P et B telles que :

- Il existe un groupe de Lie G opérant à droite (ou à gauche) sur P via une application différentiable :

$$\begin{aligned} \phi : P \times G &\longrightarrow P \\ (p, g) &\longmapsto \phi(p, g) := pg = p \cdot g \end{aligned} \quad (1.1)$$

- Il existe une surjection différentiable $\pi : P \longrightarrow B$ telle que :

$$\forall p \in P, \quad \pi^{-1}(\pi(p)) = pG \quad (1.2)$$

¹ Bien que ce ne sera pas précisé, il sera toujours sous-entendu que les différentes variétés et cartes doivent avoir les mêmes niveaux de régularités pour que le tout reste cohérent.

- P est munie d'un ensemble de paire (U_i, h_i) tel que les U_i forment un recouvrement de B et tel que les $h_i : G \times U_i \longrightarrow \pi^{-1}(U_i) \subset P$ soient des difféomorphismes vérifiant :

$$\forall a, b \in G, \forall x \in B, \quad h_i(ab, x) = h_i(a, x)b \quad \text{et} \quad \pi \circ h_i(a, x) = x$$

On dit alors que B est la *base* de la VFP, que G est son *groupe structural* et pG est la *fibres de P passant par p* et au dessus de $\pi(p) \in B$. Le tout est notée $P(\phi, G, \pi, B)$ ou plus simplement $P(G, B)$.

L'ensemble $\{(U_i, h_i)\}_i$ est l'équivalent d'un atlas pour les variétés différentielles classiques mais adapter pour tenir compte de la structure fibré de P et de l'action de G . Explicité les changements de cartes dans P , ce fait comme suit.

D'abord, P étant localement difféomorphe à un produit $G \times U_i$, on peut y tracer des graphes appelés *sections locales*, comme sur la figure 1.2 ci-dessous. Formellement, une section locale au dessus de U_i est une application $\sigma : U_i \subset B \longrightarrow P$ vérifiant :

$$\pi \circ \sigma = id|_{U_i}$$

Ensuite, les hypothèses sur $P(G, B)$ sont telles que G agit transitivement et librement (ou sans point fixe)

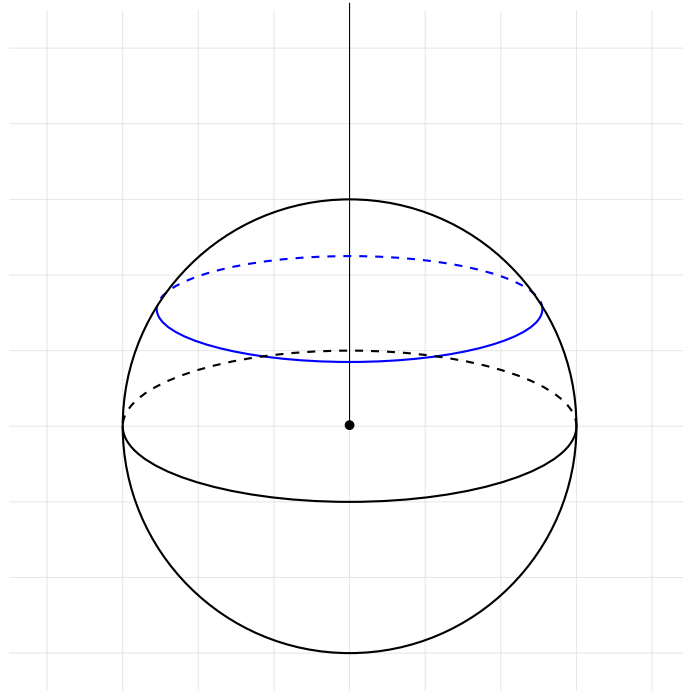


fig. 1.3 — Fibration du ruban de Möbius.

sur P . C'est-à-dire que, sur une même fibre, tout point peut être atteint par tout autre via l'action de G (transitivité) :

$$\forall x \in B, \quad \forall p, q \in P_x, \quad \exists t(p, q) \in G \mid p = qt(p, q)$$

et que le seul moyen laisse les points invariants par cette même action est de passer par l'élément neutre e (libre) :

$$\forall (p, g) \in P \times G, \quad p = pg \implies g = e$$

De la transitivité de G , découle le fait que toutes les sections locales σ au dessus de U_i peuvent s'écrire à partir d'une même section σ_i via la formule :

$$\forall x \in B, \quad \sigma(x) = \sigma_i(x)t(\sigma_i(x), \sigma(x))$$

Son caractère libre, lui assure l'unicité d'un choix canonique de section σ_i sur U_i . Elle est donnée par :

$$h_i(x, e) = \sigma_i(x)$$

Cela mène à la définition :

DÉFINITION 2 (FONCTIONS DE TRANSITIONS) — L'intersection de deux cartes est noté $U_{ij} = U_i \cap U_j$ et le passage d'une section local canonique est donné par :

$$\forall x \in U_{ij}, \quad \sigma_j(x) = \sigma_i(x)t(\sigma_i(x), \sigma_j(x))$$

L'élément de G , $t(\sigma_i, \sigma_j)$, est alors appelé *fonction de transition* et est noté φ_{ij} . Elle fait effectivement la transition entre deux cartes dans le sens où :

$$\forall (g, x) \in G \times U_{ij}, \quad h_i^{-1} \circ h_j(g, x) = (\varphi_{ij}(x)g, x)$$



fig. 1.4 — Digrame surement osef des jeux de projections entre P et les cartes locales

- espace tangent
- séparation en vertical \oplus horizontal
- pourquoi la découpe est pas canonique
- reformulation en terme de 1-forme
- connexion en coordo local
- toujours pas canonique tho

PROPOSITION 1 — Une 1-forme de connexion \mathcal{A} , noté \mathcal{A}_i en coordonnée local sur la carte U_i , doit vérifier le changement de coordonnée :

$$\varphi_{ij}\mathcal{A}_j = \mathcal{A}_i\varphi_{ij} + d\varphi_{ij}$$

1.2 Espaces projectifs complexes

Les espaces projectifs complexes se construisent ainsi. On se place dans $\mathbb{C}^{n+1*} = \mathbb{C}^{n+1} \setminus \{0_{\mathbb{C}^{n+1}}\}$ avec la relation d'équivalence, $\forall x, y \in \mathbb{C}^{n+1*}$:

$$x \sim y \iff \exists \lambda \in \mathbb{C}^* \mid x = \lambda y$$

L'espace projectif complexe, noté $\mathbb{P}\mathbb{C}^n$ est l'espace quotient :

$$\mathbb{P}\mathbb{C}^{n-1} = \mathbb{C}^{n+1*} / \mathbb{C}^* = \mathbb{C}^{n+1*} / \sim$$

En notant $[z]$ la classe de $\mathbb{P}\mathbb{C}^n$ du représentant $z = (z^i)_{0 \leq i \leq n} \in \mathbb{C}^{n+1*}$, on définit les ensembles et cartes, $\forall i \in \llbracket 0, n \rrbracket$:

$$U_i = \left\{ [z] \in \mathbb{P}\mathbb{C}^n \mid z^i \neq 0 \right\} \quad \phi_i : \begin{array}{ccc} U_i & \longrightarrow & \mathbb{C}^i \times \{1\} \times \mathbb{C}^{n-i} \cong \mathbb{C}^n \\ [z] & \longmapsto & \frac{1}{z^i} (z_0, \dots, 1, \dots, z_n) \end{array} \quad (1.3)$$

L'ensemble d'arrivé $\phi_i(U_i)$ est de dimension n et s'assimile à \mathbb{C}^n mais, par souci de comodité, on restera

dans \mathbb{C}^{n+1} . Cela permet d'écrire plus simplement les formules de changement de carte en évitant de devoir enlever et rajouter des coefficients :

$$\forall [z] \in U_i \cap U_j, \quad \phi_i \circ \phi_j^{-1}(z) = \frac{z^j}{z^i} z \quad (z^{i,j} \neq 0)$$

Les (U_i, ϕ_i) forme un atlas holomorphe sur l'espace projectif complexe, faisant de $\mathbb{P}\mathbb{C}^n$ une variété complexe de dimension $\dim_{\mathbb{C}} = n$ (voir annexe ?? pour plus de détail).

PROPOSITION 2 — La $2n+1$ -sphère S^{2n+1} est un espace fibré de base $\mathbb{P}\mathbb{C}^n$ est de fibre type S^1 , ou $U(1)$. La fibration étant la projection canonique :

$$\begin{aligned} \pi : S^{2n+1} &\longrightarrow \mathbb{P}\mathbb{C}^n \\ x &\longmapsto [x] \end{aligned}$$

Voir [5] pour la démo

PROPOSITION 3 — $\mathbb{P}\mathbb{C}^n$ admet une métrique hermitienne induite par la métrique de S^{2n+1} , elle même induite du produit scalaire sur \mathbb{R}^{2n+1} . Elle est appelé *métrique de Fubini-Study* et est donnée par le formule :

II — Interprétation des trois phases dans ce cadre

2.1 Cas pseudo-cyclique

ANNEXE

Annexe A — Variété différentielle complexe, tiré de [13]

Pour mémoire, une variété différentielle de classe C^k ($k \in \mathbb{N} \cup \{\infty\}$) de dimension n est un espace topologique² \mathcal{M} (ou \mathcal{M}^n) munie d'un *atlas* $(\phi_i, U_i)_{i \in I}$, c'est-à-dire un ensemble finie de pair d'ouvert $U_i \subset \mathcal{M}$ et d'application $\phi_i : U_i \rightarrow \mathbb{R}^n$ telle que :

- les U_i forme un recouvrement de la variété : $\bigcup_{i \in I} \phi_i(U_i) = \mathcal{M}$
- les ϕ_i sont des homéomorphismes sur leur image $\phi_i(U_i) \subset \mathbb{R}^n$.
- si l'intersection $U_i \cap U_j$ est non vide, alors $\phi_j \circ \phi_i^{-1}|_{\phi_i^{-1}(U_i \cap U_j)}$ est un C^k difféomorphisme sur son image.

\mathcal{M} sera une *variété différentielle complexe* si elle satisfait les propriétés ci-dessus où \mathbb{R}^n est remplacé par \mathbb{C}^n et où la condition de difféomorphisme est remplacé par la condition d'holomorphisme. Une application $f : \mathbb{C}^n \rightarrow \mathbb{C}^n$ étant holomorphe si chacune de ses composantes vérifie l'équation de Cauchy-Riemann :

$$\forall x, y \in \mathbb{R}^n, \forall \mu, \quad \frac{\partial f}{\partial y^\mu}(x + iy) = i \frac{\partial f}{\partial x^\mu}(x + iy)$$

Les fonctions holomorphes étant automatiquement C^∞ , les variétés différentielles complexes sont toujours lisse, c'est-à-dire C^∞ . Aussi, \mathcal{M} est dite de dimension complexe n et dimension (réel) $2n$, notés :

$$\dim_{\mathbb{C}}(\mathcal{M}) := n \qquad \dim_{\mathbb{R}}(\mathcal{M}) := \dim(\mathcal{M}) = 2n \quad (1.4)$$

Ensuite, pour le dire rapidement, la structure complexe de \mathcal{M} permet de séparer les espaces tangents en deux sous espaces. Pour ce faire, on commence par noter qu'en tout point $p \in \mathcal{M}$ de coordonnée $z^\nu = x^\nu + iy^\nu$, l'espace tangent $T_p \mathcal{M}$, vu comme variété réelle, admet une base :

$$T_p \mathcal{M} = \text{Vec} \left\{ \frac{\partial}{\partial x^1}, \dots, \frac{\partial}{\partial x^n}, \frac{\partial}{\partial y^1}, \dots, \frac{\partial}{\partial y^n} \right\} \quad (1.5)$$

Plus tôt que de se basé sur les x^μ et y^μ pour séparer les $T_p \mathcal{M}$, on définit sur ces derniers un tenseur J_p de type (1,1) tel que :

$$J_p \frac{\partial}{\partial x^\mu} = \frac{\partial}{\partial y^\mu} \qquad J_p \frac{\partial}{\partial y^\mu} = -\frac{\partial}{\partial x^\mu} \quad (1.6)$$

Ce tenseur est l'équivalent de la multiplication par $\pm i$ et le fait que \mathcal{M} soit complexe assure qu'il soit défini globalement, *i.e.* sur $T\mathcal{M}$. Il est diagonalisable dans la base :

$$\partial_\mu = \frac{\partial}{\partial z^\mu} := \frac{1}{2} \left(\frac{\partial}{\partial x^\mu} - i \frac{\partial}{\partial y^\mu} \right) \qquad \bar{\partial}_\mu = \frac{\partial}{\partial \bar{z}^\mu} := \frac{1}{2} \left(\frac{\partial}{\partial x^\mu} + i \frac{\partial}{\partial y^\mu} \right) \quad (1.7)$$

Ainsi en fonction de la base ((1.4) ou (1.7)), J_p va s'écrire :

$$J_p = \begin{pmatrix} 0 & I_n \\ -I_n & 0 \end{pmatrix} \qquad J_p = \begin{pmatrix} iI_n & 0 \\ 0 & -iI_n \end{pmatrix} \quad (1.8)$$

Finalement, $T\mathcal{M}$ peut être séparé en deux sous-espaces engendré respectivement par les ∂_μ et $\bar{\partial}_\mu$. On parle de vecteur holomorphe et anti-holomorphe et on note :

$$T_p \mathcal{M}^+ = \text{Vec}\{\partial_\mu \mid 1 \leq \mu \leq n\} \qquad T_p \mathcal{M}^- = \text{Vec}\{\bar{\partial}_\mu \mid 1 \leq \mu \leq n\} \quad (1.9)$$

²La topologie de \mathcal{M} doit vérifier des propriétés type séparable, dénombrable à l'infinie, etc., qui seront toutes admises dans la suite, voir par exemple [5, chap. 2]

- qui est quelle phase
- mail à berthier pour les contraintes rapport

TABLE DES FIGURES

1.1	Fibration du ruban de Möbius.	6
1.2	Représentation d'un fibré principale	6
1.3	Fibration du ruban de Möbius.	7
1.4	Digraphe surement oséf des jeux de projections entre P est les cartes locales	8

TABLE DES CODES

RÉFÉRENCES

- [1] A. BOHM, A. MOSTAFAZADEH, H. KOIZUMI, Q. NIU, AND J. ZWANZIGER, *The Geometric Phase in Quantum Systems*, Springer Berlin Heidelberg, Berlin, Heidelberg, 2003.
- [2] C. CANO, *Mathematical tools and signal processing algorithms for the study of gravitational waves polarization*, phdthesis, Université Grenoble Alpes [2020-....], Oct. 2022.
- [3] L. COHEN, *Time frequency analysis*, Prentice Hall signal processing series, Prentice Hall, Englewood Cliffs, NJ, 1995.
- [4] F. FAURE, *Introduction à la géométrie et la topologie des espaces fibrés en physique*, (2022).
- [5] J. LAFONTAINE, *An Introduction to Differential Manifolds*, Springer International Publishing, Cham, 2015.
- [6] N. LE BIHAN, J. FLAMANT, AND P.-O. AMBLARD, *Modèles physiques à deux états pour les signaux bivariés : modulation de polarisation et phase géométrique*, in GRETSI 2023 - XXIXème Colloque Francophone de Traitement du Signal et des Images, Grenoble, France, Aug. 2023, GRETSI - Groupe de Recherche en Traitement du Signal et des Images.
- [7] ———, *The Geometric Phase of Bivariate Signals*, in 2024 32nd European Signal Processing Conference (EUSIPCO), Lyon, France, Aug. 2024, IEEE, pp. 2562–2566.
- [8] J. LEFEVRE, *Polarization analysis and optimization geometry*, phdthesis, Université Grenoble Alpes [2020-....] ; University of Melbourne, Dec. 2021.
- [9] J. M. LILLY, *Modulated Oscillations in Three Dimensions*, IEEE Transactions on Signal Processing, 59 (2011), pp. 5930–5943.
- [10] J. M. LILLY AND S. C. OLHEDE, *Analysis of Modulated Multivariate Oscillations*, IEEE Transactions on Signal Processing, 60 (2012), pp. 600–612.
- [11] J. E. MARSDEN AND T. S. RATIU, *Introduction to Mechanics and Symmetry: A Basic Exposition of Classical Mechanical Systems*, vol. 17 of Texts in Applied Mathematics, Springer New York, New York, NY, 1999.
- [12] N. MUKUNDA AND R. SIMON, *Quantum Kinematic Approach to the Geometric Phase. II. The Case of Unitary Group Representations*, Annals of Physics, 228 (1993), pp. 269–340.
- [13] M. NAKAHARA, *Geometry, Topology and Physics, Second Edition*, Taylor & Francis, June 2003.